

## 軌條接続部附近に生ずる應力の近似解法

最上 幸夫

### 1. まえがき

軌條應力の計算法としては要旨で述べた如く從未二通りの方法があり彈性床上の無限桁としての解法は米国を始め諸外国で広く用いられ連続桁としての解法は我国で専ら用いられている。而して軌道應力の研究は米国に於て1913年以降 A. N. Talbot 氏を委員長として軌道應力調査特別委員会が設立され爾來数十年の永きに亘つて孜々として研究が繼續され膨大な報告書が提出されて貴重な資料を與えている之に刺戟されて我国鉄に於てもかなり大規模な軌道調査が実施され其成果は軌道成績調査経過報告として発表されている。何れの報告書も極めて重要な研究上の資料を與えているが之等の実験が主として軌條の中央附近を対稱として行われ軌道中の最弱点と見られる軌條接目附近に重点がおかれていないのは、一見筆者の奇異に感ずるところである。

統計的資料によれば軌條毀損の約80%は接目附近の事故によるものとされている。この事實を考えれば軌條接目がレール中の最弱点であり従つてこの附近の應力値が極めて大なる値に達するものであることは容易に想像し得る。仍で筆者はこの附近の應力値がどの程度に達するかを知ろうと試みた。現場における実験的資料の乏しいためかなり疑問の点も多々生じたが之等の解明は今後の研究にまたねばならない。最近の米国における文献のリストによると H. F. Moor, N. J. Alleman, Cramer, Jensen 等の人々によつて接目や接目鋸毀損の研究が盛んに行われている様である。之等の研究がこの附近の應力計算法解明の鍵を握るものとして極めて注目に

値するものであることを一言強調しておく必要がある。

### 2. 計算上の諸假定

軌條應力の計算は厳密な理論的方法では解けず何れの方法を探るも近似解たるを免れないが著者は次の如き諸仮定の下に理論を進めた。

#### (1) 荷重

荷重としてD型蒸気機関車を考慮し第三動輪に就てのみ過平衡重による遠心力の影響を考え荷重群に対しては重複の法則が成立する。

#### (2) 荷重の影響範囲

國鉄に於ては荷重作用点左右の枕木10挺分を影響範囲としているが、著者は荷重による沈下曲線として無限桁式を修正したものを用い25m軌條に対してはその1/2即ち 12.5m 程度を影響範囲とした。

#### (3) 列車速度

列車速度は略々一定のものと仮定する。

#### (4) 接目部の強度

接目釘で補強された接目附近の強度はボルトの緊密度如何によりかなり変化する筈であるがこゝには簡単のため他の部分と同一と考える。

#### (5) 振動の影響

一接目における衝撃の影響は車体に於てはかなりの時間繼續されるが車輪及び軌條では極めて短時間に消失するものと考えられるから車輪に於ては大略0.5sec 後には影響が消失するものとした。以上の外衝撃の影響を近似的に考慮するために二三の仮定を用いだが本文中に説明を加えることとする。

### 3. 一般論

#### 1. 車輪圧の変化

軌條應力を算定する為に先づ之に作用する外力の状態を明かにする必要がある。軌條接目附近の車輪圧の変化に就ては堀越一三氏の研究があるが筆者は近似的方法として前橋俊一氏の取扱つた如く接目附近における恒久的沈下曲線の形を次式で示すことにした。

$$\eta = \eta_0 / 2 (l - \cos 2\pi / l x) \quad (1)$$

茲に  $\eta_0$  = 沈下曲線中央における沈下量

$l$  = 沈下曲線の水平全長

然るときは一車輪荷重が作用する場合の運動方程式は過平衡重の作用するときは

$$W_0 \frac{d^2}{dt^2} \left( \frac{y + \eta}{g} \right) + K_1 y = P \sin \omega t \quad (2)$$

但し  $W_0$  = 車輪の彈機下重量

$y$  = 車輪の軌條水平面よりの変位量

$K_1$  = 軌道の復元力常数

$P$  = 過平衡重による遠心力

$\omega$  = 車輪の回転角速度 で表される

(1)(2)式より(2)の一般解は

$$Y = A \cos nt + B \sin nt + c \sin \omega t - b \cos \omega t \quad (3)$$

$$\text{但し } a = 2\pi v / l, \quad b = \frac{a^2}{n^2 - a^2} \frac{\eta_0}{2}, \quad c = \frac{P}{n^2 - \omega^2} \dots (4)$$

常数A, Bを決定する初期条件として

$$t=0; y=y_0, \left( \frac{dy}{dt} \right)_{t=0} = v_0 \text{ とおけば}$$

$$y = (y_0 + b) \cos nt + (v_0 - c\omega)t / \eta \sin nt + c \sin \omega t - b \cos \omega t \quad (5)$$

従つて接目附近を通過する車輪によつて軌條に加えられる車輪圧は  $W'$  を彈機上重量として

$$F = W' + W_0 + P \sin \omega t + K_1 y \quad (6)$$

で表される。(5)式の  $y_0, v_0$  の値は車輪圧が接目附近で最大に近い値を取るものと考えた條件から近似的に決定し得る。(後述)

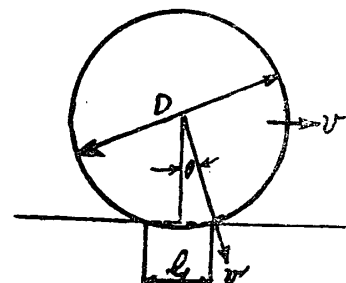
過平衡重のない車輪では(2)式の右辺を0とおいて前同様に

$$Y = (y_0 + b) \cos nt + v_0 / \eta \sin nt - b \cos \omega t \quad (5')$$

$$F = W' + W_0 + K_1 y \quad (6')$$

以上は接目附近の谷の形を正弦曲線と仮定したのであるが、實際は接目游間が存在する為接目の衝撃によつて瞬時車輪圧に変化を生ずる筈である。この影響を近似的に表す為筆者は次の

如く仮定した。即ち車輪が接目に衝撃を與えた瞬間を考えると車輪の有する衝撃エネルギーは車輪及び軌條の瞬間的変位に費される。鋼の場合略々完全弾性体と見なされるからエネルギーの損失はなく全く両者の変位に費される。而して両者に費されるエネルギーの割合は車輪及び軌道の状態によりかなり変動するが両者略々同一硬度の同一物質であるから近似的に両者に費されるエネルギーは略々等しいものとして取扱うこととする。然るときは第一図を参照して車輪の有する衝撃のエネルギーは



第一図

$$E = \frac{W_0 v'^2}{2g} = W_0 / 2g \left( \frac{l_1}{D} v \right)^2 \quad (7)$$

但し  $l_1$  = 接目游間、  $D$  = 車輪直径

一般に  $\theta$  は微小であるから  $\sin \theta = 0, \cos \theta = 1$  とおけば(7)式は衝撃エネルギーの垂直方向分力を表す。従つて車輪及び軌條に加えられるエネルギーは

$$E' = \frac{W_0}{4g} \left( \frac{l_1}{D} v \right)^2 \quad (8)$$

この瞬間的に加えられたエネルギーによつて車輪に生ずる変位は減衰振動をなすものと考え

$$y_1 = \delta_0 e^{-\beta_0 t} \sin nt \quad (9)$$

で表されるものとすれば、かかる振動を生じた車輪の初速度は

$$\left( \frac{dy_1}{dt} \right)_{t=0} = v_0 = \delta_0 n \quad (10)$$

であるからこの場合車輪の有する運動のエネルギーは

$$E_1 = \frac{W_0}{2g} v_0^2 = \frac{W_0}{2g} \delta_0^2 n^2 \quad (11)$$

$E' = E_1$  とおけば

$$\delta_0 = \frac{1}{\sqrt{2}} \left( \frac{l_1}{D} v \right) \quad (12)$$

近似的に  $n$  は車輪の固有振動数を用いれば(12)式により  $\delta_0$  の値が得られる。この減衰振動は車

1) 堀越一三、業務研究資料2月10号、P9 (1982)

2) 前橋俊一、「波状磨耗を通じて軌條磨耗を見る」P141



で表す。A, Kは厳密には軌道各部で異なり常数として取扱えないが近似的に常数として取扱う。併しこの値の決定に就ては活荷重状態、各種速度多くの軌道状態について実験的調査を行う必要がある。ここでは1.50kg軌條に対し

(i)  $F \leq 4.536\text{t}$  の場合 (Fは荷重)

$$Y = 0.000728Fe^{-0.78x} (\cos 0.78x + \sin 0.78x) \left(1 + \frac{v}{170}\right) \quad (24)$$

(ii)  $F > 4.536\text{t}$  の場合

$$Y = (0.000316F + 0.001867)e^{-0.88x} (\cos 0.88x + \sin 0.88x) \left(1 + \frac{v}{170}\right) \quad (25)$$

2.37kg レールに対し

$$Y = 0.000697Fe^{-0.965x} (\cos 0.965x + \sin 0.965x) \left(1 + \frac{v}{170}\right) \quad (26)$$

上式は  $t - munit$  とする。V = 列車速度 (km/hr)

速度による沈下量の増加率は各車輪状態により勿論異なるがD型機関車では上記の式程度で大過はないと考えられる。<sup>23</sup>式に依れば理論上 A, Kの間には次式が成立する。

$$K_1 = \sqrt{\frac{F}{8AEI}} \quad (27)$$

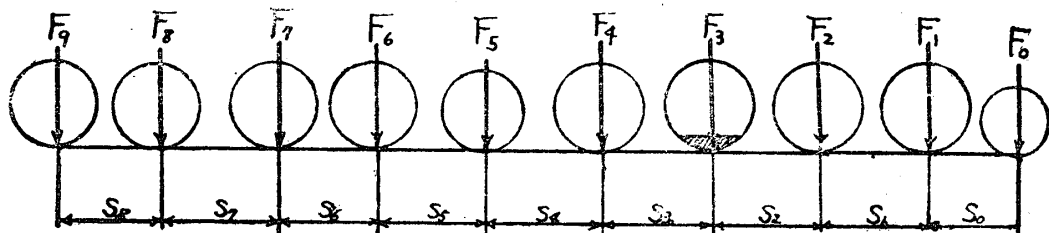
$$\text{尚 } K_1 = \frac{W_o}{\delta} \quad (28)$$

$\delta$  は(24)～(26)式の第一項を夫々適用する。

以上の算式を基本式として用いれば荷重群に対し任意点の任意時刻における沈下曲線従つて曲げモーメント剪断力を計算される。即ち一般に(23)式を用いれば、任意時刻に於ける Aの値は(19)～(22)式を用いて求められるから

#### 4. D型機関車が作用する場合の算式

例として一般論で述べた算式を用いD型機関車の場合の算式を求めて見る。荷重は第三図とする。



第三図 (D型機関車)

一般に接目附近に最大應力を生ずるのは過平衡重の影響を有する第三動輪（又は第四動輪）が接目部附近で最大車輪圧に達した場合に接目の衝撃を受けた様な瞬間と考えられるからかかる場合を仮定して算式を求める。第三動輪が接

一例として前記の実験結果から近似式として次式を用いることにする。（但し米国におけるこの実験は国鉄のものに比しかなり過大な値を取っている。）

$$Mx = -EI \frac{\partial^2 y}{\partial x^2} = 2AK^2EIe^{-kx}(\cos Kx - \sin Kx) \quad (29)$$

$$Qx = -EI \frac{\partial^3 y}{\partial x^3} = -4AK^3EIe^{-kx}\cos Kx \quad (30)$$

で計算される。

目の対向端に達し衝撃を受けた瞬間の位置を原点にとれば第三図を参照して原点より任意の距離  $x$  における任意時刻における沈下曲線  $y$  は次の如くなる。

$x > vt$  の場合 ( $x < vt$  では符号が異なる)

$$\begin{aligned}
 y = & A_0 e^{-k(s_0 + s_1 + s_2 + vt - x)} \{ \cos k_0(s_0 + s_1 + s_2 + vt - x) + \sin k_0(s_0 + s_1 + s_2 + vt - x) \} \\
 & + A_1 e^{-k_1(s_1 + s_2 + vt - x)} \{ \cos k_1(s_1 + s_2 + vt - x) + \sin k_1(s_1 + s_2 + vt - x) \} \\
 & + A_2 e^{-k_2(s_2 + vt - x)} \{ \cos k_2(s_2 + vt - x) + \sin k_2(s_2 + vt - x) \} \\
 & + A_3 e^{-k_3(vt - x)} \{ \cos k_3(vt - x) + \sin k_3(vt - x) \} \\
 & + A_4 e^{-k_4(s_3 - vt + x)} \{ \cos k_4(s_3 - vt + x) + \sin k_4(s_3 - vt + x) \} \\
 & + A_5 e^{-k_5(s_3 + s_4 - vt + x)} \{ \cos k_5(s_3 + s_4 - vt + x) + \sin k_5(s_3 + s_4 - vt + x) \} \\
 & + A_6 e^{-k_6(s_3 + \dots + s_5 - vt + x)} \{ \cos k_6(s_3 + \dots + s_5 - vt + x) + \sin k_6(s_3 + \dots + s_5 - vt + x) \} \\
 & + \dots \quad (31)
 \end{aligned}$$

但し  $A_0, A_1, A_2, \dots, A_9$  は次の  $F_0, F_1, F_2, \dots, F_9$  の  
 $x < vt$  の場合も同様に求められるが紙面の関係  
 上省略する。

$$\begin{aligned}
 F_0 = & w_{00}' + w_{00} + k_{10} \left[ \left\{ (y_{00} + b_0) \cos \frac{n_0 l}{v} + v_{00}/n_0 \sin \frac{n_0 l}{v} - b_0 \right\} \cos n_0 \left( t - \frac{l - l_1 + s_0 + s_1 + s_2}{2v} \right) \right. \\
 & \left. + \left\{ v_{00}/n_0 \cos \frac{n_0 l}{v} - (y_{00} + b_0) \sin \frac{n_0 l}{v} \right\} \sin n_0 \left( t - \frac{l - l_1 + s_0 + s_1 + s_2}{2v} \right) \right. \\
 & \left. - \delta_{00} e^{-\beta_{00} \left( t + \frac{s_0 + s_1 + s_2}{v} \right)} \sin n_0 \left( t + \frac{s_0 + s_1 + s_2}{v} \right) \right]
 \end{aligned}$$

$$\begin{aligned}
 F_1 = & w_{01}' + w_{01} + k_{11} \left[ \left\{ (y_{01} + b_1) \cos \frac{n_1 l}{v} + \frac{v_{01}}{n_1} \sin \frac{n_1 l}{v} - b_1 \right\} \cos n_1 \left( t - \frac{l - l_1 + s_1 + s_2}{2v} \right) \right. \\
 & \left. + \left\{ \frac{v_{01}}{n_1} \cos \frac{n_1 l}{v} - (y_{01} + b_1) \sin \frac{n_1 l}{v} \right\} \sin n_1 \left( t - \frac{l - l_1 + s_1 + s_2}{2v} \right) \right. \\
 & \left. - \delta_{01} e^{-\beta_{01} \left( t + \frac{s_1 + s_2}{v} \right)} \sin n_1 \left( t + \frac{s_1 + s_2}{v} \right) \right]
 \end{aligned}$$

$$\begin{aligned}
 F_2 = & w_{02}' + w_{02} + k_{12} \left[ (y_{02} + b_2) \cos n_2 \left( t + \frac{l + l_1 + s_2}{2v} \right) + v_{02}/n_2 \sin n_2 \left( t + \frac{l + l_1 + s_2}{2v} \right) \right. \\
 & \left. - b_2 \cos a \left( t + \frac{l + l_1 + s_2}{2v} \right) - \delta_{02} e^{\beta_{02} \left( t + \frac{s_2}{v} \right)} \sin n_2 \left( t + \frac{s_2}{v} \right) \right]
 \end{aligned}$$

$$\begin{aligned}
 F_3 = & w_{03}' + w_{03} + c \sin \sigma \left( t + \frac{l + l_1}{2v} \right) + k_{13} \left[ (y_{03} + b_3) \cos n_3 \left( t + \frac{l + l_1}{2v} \right) + \frac{v_{03} - c\sigma}{n_3} \sin n_3 \left( t + \frac{l + l_1}{2v} \right) \right. \\
 & \left. - b_3 \cos a \left( t + \frac{l + l_1}{2v} \right) + c \sin \sigma \left( t + \frac{l + l_1}{2v} \right) - \delta_{03} e^{-\beta_{03} t} \sin n_3 t + \delta_{13} e^{-\beta_{13} t} \cos n_{13} t \cos \frac{2\pi v}{l_2} t \right]
 \end{aligned}$$

$$\begin{aligned}
 F_4 = & w_{04}' + w_{04} + k_{14} \left[ (y_{04} + b_4) \cos n_4 \left( t + \frac{l + l_1 - s_3}{2v} \right) + \frac{v_{04}}{n_4} \sin n_4 \left( t + \frac{l + l_1 - s_3}{2v} \right) \right. \\
 & \left. - b_4 \cos a \left( t + \frac{l + l_1 - s_3}{2v} \right) \right]
 \end{aligned}$$

$$F_5 = w_{05}' + w_{05} + k_{15} y_{m5} \cos n_5 \left( t + \frac{s_{k5}}{v} + \frac{l + l_1 - s_3 + s_4}{2v} \right)$$

$$F_6 = w_{06}' + w_{06} + k_{16} y_{m6} \cos n_6 \left( t + \frac{s_{k6}}{v} + \frac{l + l_1 - s_3 + \dots + s_5}{2v} \right)$$

$$F_7 = w_{07}' + w_{07} + k_{17} y_{m7} \cos n_7 \left( t + \frac{s_{k7}}{v} + \frac{l + l_1 - s_3 + \dots + s_6}{2v} \right)$$

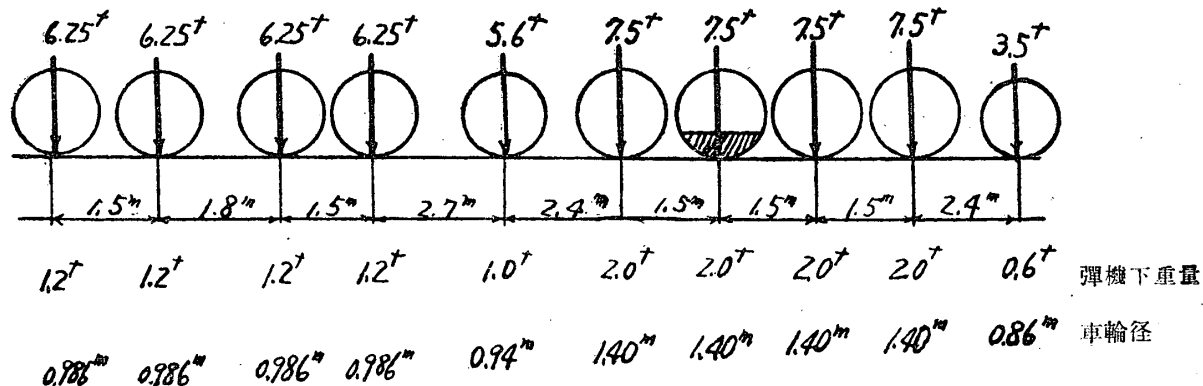
$$F_8 = w_{08}' + w_{08} + k_{18} y_{m8} \cos n_8 \left( t + \frac{s_{k8}}{v} + \frac{l + l_1 - s_3 + \dots + s_7}{2v} \right)$$

$$F_g = w_g' + w_{g0} + k_{1g} y_m \cos n_g \left( t + \frac{s_{k0}}{v} + \frac{l_1}{2v} - \frac{s_3 + \dots + s_s}{v} \right) \quad (31)'$$

上式中の数字は荷重番号を示す。

$y_{m6}$  ……は車輪が平坦部分で行う單弦運動の振幅、 $s_{k6}$  ……は車輪が接目附近に最大車輪圧を及すと考えた場合谷の入口とそれ以前で車輪が振幅の最大値を取つた点との距離

(31)(31)'式により任意時刻における任意点の沈下曲線が求められるが、一般には上式を用いるときは第三動輪が接目の衝撃を受けた瞬間にその直下において最大應力を生ずることになる。従つてこの場合の曲げモーメントは(31)式よ



第四図 (D.50型)

其他の計算に用いた数値は次の通りである。

1. 列車速度:  $V = 68 \text{ km/hr}$  (D50型の制限速度)
2. 軌條: 50kg 軌條 長さ 25m
3. 接目附近谷の形: 1887年 Couiard 氏が Paris で測定した軌條面の恒久的沈下量を参照して谷の形は  $\gamma_0 = 0.4 \text{ mm}$ ,  $l = 4.00 \text{ m}$  とした。実際には各路線に就き測定することが望ましい。
4. 其他の数値

接目游間  $l_1 = 0.02 \text{ m}$ ,  $E = 2100,000 \text{ kg/cm}^2$

$l_2 = 3.00 \text{ m}$ ,  $P = 1.5 \text{ t}$

車輪の衝撃による影響は 0.5sec 後には大略無視し得るものとした。接目部附近に生ずる応力を検討する関係上車輪の振動は接目部附近に於て最大に近い悪影響を及す様な状態を考えた。即ち過平衡重の影響を有する第三動輪に於ては平坦部分における車輪の上下振動は一般に

$$y = A \cos nt + B \sin nt + \frac{P}{n^2 - \sigma^2} \sin \sigma t \quad (33)$$

り  $t$  と  $x$  は無関係であるから

$$Mx = -EI \frac{\partial^2 y}{\partial x^2} \quad (32)$$

を求めて  $t=0, x=0$  とおくことによつて

$M_{\max}$  の値が得られる。以上の算式により具体的な荷重を想定して計算を行つた結果は次に示す通りである。

### 5. 計算例に依る検討

今一例として D.50 型機関車を想定しその荷重状態は第四図の通りとする。

過平衡重ない場合は

$$y = c A \cos nt + B \sin nt \quad (34)$$

で表されるから、この振動が最大振幅に達した場合を  $t$  の原点に取れば

$$t=0: \quad Y=y_m, \quad \frac{dy}{dt} \Big|_{t=0} = 0 \quad \text{であるから}$$

之から A, B を決定すれば両者の場合夫々

$$Y = y_m \cos nt - \frac{c\sigma}{n} \sin nt + c \sin \sigma t \quad (35)$$

$$Y = y_m \cos nt \quad (35)'$$

而してこの様な振動が仮に接目部が平坦なものと仮定した場合丁度接目に於て最大振幅に達するものと考えると谷の入口と谷の手前で最大振幅に達した点との距離を  $s_k$  で表せば

過平衡重ある場合は近似的に

$$n \left( \frac{s_k}{v} + \frac{l_1 + l_2}{2v} \right) = 2m\pi \quad m=1, 2, 3 \quad (36)$$

過平衡重ない場合は完全に上式が成立する。谷の入口前では(35)又は(35)'の振動が行われて

4) 前橋俊一「同上著書」P38

いるものと考え、(36)式の  $s_k$  の値を用いて谷の入口における境界条件を考慮すれば

$$\left. \begin{array}{l} Y_0 = (y)_{t=0} = \frac{s_k}{v} \\ v_0 = \frac{dy}{dt}_{t=0} = \frac{s_k}{v} \end{array} \right\} \dots\dots\dots (37)$$

として  $y_0, v_0$  は  $y_m$  の項を用いて表される。 $y_m$  は軌條平坦部における車輪振動の振幅であるが、この値は近似的に一般車輪では車輪走行中における軌條の沈下量を用い、第三動輪に対しては特に相当危険な場合の値を用いる。軌條平坦部における車輪圧を S. Timoshenko, B. F. Langer 両氏が測定した結果によれば車輪による最大垂直圧は平均して静輪重の 1.4 倍最大値で 1.64 倍となつてゐる。但し此場合の速度は 22.5 km/hr であるから速度による増加率を考慮すれば更に大なることが豫想される。理論上考えれば振幅値の最大は静荷重の 2 倍のものが作用した場合の沈下量となるから第三動輪では危険な場合として 2 倍を用いる。

以上の論旨により行つた計算結果は

(詳細は紙面の関係上省略)

曲げモーメント値として

$$M = 4.19710^{t-m}, \sigma = 1608 \text{ kg/cm}^2 \dots (38)$$

を得た。但し車輪の振動は各々勝手に行われる

から実際の応力は最悪の場合 (38) の値より更に大なることが豫想される。

前記の荷重を用いて国鉄における連続桁としての解法に依れば、路盤状態極めて不良な場合に枕木間隔 75 cm として

$$M = 1.31861^{t-m}, \sigma = 505 \text{ kg/cm}^2$$

速度による増加率を約 70% とすれば

$$M = 2.24164^{t-m}, \sigma = 858.5 \text{ kg/cm}^2$$

となる。之で見れば接目部附近の応力が接目落ち及び接目衝撃の影響により如何に大なる値に達するかが了解される。かくの如く許容応力を遙かに越した応力により材料の疲労をはじめに此部分で破壊を生ずるものであるから今後之が対策に関しては更に一層の研究が要望される所以である。軌條応力に就ては車体、車輪、軌條、枕木、道床路盤の関聯に依り複雑な振動が行われその間にエネルギーの授受を見、更に速度の増大を考慮すれば極めて複雑なものとなり流体力学における渦流の如く一種の渦動応力が生ずるものと考えられるがそれ等の実体を極めることは困難な問題であり今後に残された課題であるといえよう。

以 上

5) Transactions of A. S. M. E., 30 P 14 (1931)